

ریخت‌شناسی گرده گونه‌های سرده *Rubus L.*، زیرسرده *Rubus* در ایران

راضیه کسلخه^۱، عیسی جرجانی^۱، حسین صبوری^۲، میثم حبیبی^۱ و علی ستاریان^{۱*}

دریافت: ۱۳۹۵/۲/۲۴ / پذیرش: ۱۳۹۵/۹/۲۹ / چاپ: ۱۳۹۶/۳/۳۱

۱) گروه زیست‌شناسی، دانشکده علوم، دانشگاه گنبد کاووس، گنبد کاووس، ایران

۲) دانشکده علوم کشاورزی و منابع طبیعی، دانشگاه گنبد کاووس، گنبد کاووس، ایران

*مسئول مکاتبات: sattarian@gonbad.ac.ir

چکیده. دانه گرده ۷ گونه سرده *Rubus L.* متعلق به زیرسرده *Rubus* از ایران با میکروسکوپ نوری (LM) و میکروسکوپ الکترونی نگاره (SEM) تحت بررسی قرار گرفت. طی این مطالعه چهارده خصوصیت مختلف گرده‌شناسی سنجیده و اندازه گیری شدند. تمامی دانه‌های گرده منفرد، سه‌شار منفذی، جورقطب، از نظر اندازه متوسط بودند. سه شکل دانه گرده شامل prolate، perprolate و prolate spheroidal در نمونه‌های یکسان تشخیص داده شد. ساختار شکاف‌ها معمولاً سه شیار (ectocolpi) و سه منفذ درونی (endoporus) را نشان می‌دهد. منفذ درونی در ناحیه میانی شیار قرار دارد. سطح تریثات اگزین نشان داده که تمام گونه‌ها دارای الگویی شیاردار یا مخطط هستند که در برخی گونه‌ها از جمله *R. sanctus* Schreb. و *R. persicus* Boiss. و *R. hyrcanus* Juz. در طول شیارها تا حدودی مستقیم‌اند (striate) و بر جستگی کمتری دارند ولی در دیگر گونه‌ها این شیارها به صورت بر جسته و چندشاخه (scabrate-striate) ها نیز وجود دارد.

واژه‌های کلیدی. اگزین، سه شیاره، دانه گرده، طرح اثر انگشت، محور قطبی، میکروسکوپ الکترونی

Pollen morphology of the genus *Rubus L.* subgenus *Rubus* (Rosaceae) in Iran

Razieh Kasalkheh¹, Eisa Jorjani¹, Hossein Sabouri², Meisam Habibi¹ & Ali Sattarian^{2*}

Received 23.04.2016 / Accepted 19.12.2016 / Published 21.06.2017

¹Department of Biology, Faculty of Science, University of Gonbad-e- Kavous, Gonbad-e- Kavous, Iran

²Department of Plant Production, Faculty of Agricultural and Natural Resources, University of Gonbad-e- Kavous, Gonbad-e- Kavous, Iran

*Correspondent author: sattarian@gonbad.ac.ir

Abstract. Pollen grains of 7 species of the genus *Rubus L.* were investigated using light microscopy (LM) and scanning electron microscopy (SEM). 14 different pollen characters were described, illustrated and compared in the present study. All pollen grains were monad, tricolporate, radially symmetrical, isopolar, and medium in size. As for pollen shape, 3 forms were recognized in the same specimens: prolate, perprolate and prolate-spheroidal. Endopore was located in the middle of colpi. The sculpture of the grains was confirmed to have striate pattern. The size of perforation and the orientation of the muri were compared and appeared to indicate the differences between the species. *R. caesius*, *R. discolor*, *R. dolichocarpus* and *R. hirtus* appear to have steriate-scabrate sculpture; in contrast, *R. hyrcanus* Juz., *R. persicus* Boiss. and *R. sanctus* Schreber. appear to have meandrical and fingerprint-like sculpture. Perforations are of two types. They are either large or often extending to tectal ridges or minute holes. Characters of pollen grains were proved their usefulness for separating taxa at the specific level. It seems that there is a link between the diversity of pollens and the vegetation habitats.

Keywords. exine, ectocolpi, pollen, finger prints pattern, polar axis, electron microscopy

گیاهان این سرده در خنچه‌ای (1911، 1914؛ Hummer, 1996)

مقدمه

یا علفی چندساله با ساقه‌های خاردار هستند که معمولاً شاخه گل-دهنده روی ساقه‌های بلند چوبی سال‌های قبل به وجود می‌آید. گل آذین در این سرده به صورت خوش‌ای با گل‌های سفید یا صورتی و میوه مجتمع چندبرچه‌ای هستند (Khatamsaz, 1992). از نظر بسیاری از تاکسونومیست‌ها *Rubus* یکی از

سرده تمشک *Rubus L.* یکی از اعضای تیره Rosaceae است که به زیرتیره گلسرخیان Rosoideae تعلق دارد. گونه‌های این سرده پراکنی وسیعی دارند طوری که در تمام قاره‌ها، از مناطق استوایی پست تا نواحی نیمه‌قطبی (Thompson, 1995) به جز ناحیه قطب جنوب، پراکنی دارند (Focke, 1910).

(1978). مطالعه دانه گرده در گل سرخیان تاریخچه‌ای طولانی دارد (Tomlik-Wyremblewska, 1995). گلهای سرده *Rubus* مقادیر زیادی شهد تولید می‌کنند که حشره‌ها را به سمت خود جلب می‌کنند. بنابراین، گرده‌افشانی در این سرده عموماً به وسیله حشره‌ها انجام می‌شود (Jenning, 1988).

هدف این مطالعه، تعیین صفات عمومی گرده سرده تحت مطالعه، بررسی ویژگی‌های گرده بهمنزله یک صفت تاکسو-نومیکی، مشخص کردن ارزش تاکسونومیکی گرده در گونه‌های تحت مطالعه و تعیین روابط تاکسونومیکی بین گونه‌ها برپایه مطالعه صفات دانه گرده زیرسرده *Rubus* در ایران با مشاهدات میکروسکوپ نوری (LM) و میکروسکوپ الکترونی (SEM) است.

مواد و روش‌ها

در این پژوهش، دانه گرده ۷ گونه زیرسرده *Rubus* مطالعه شدند. نمونه‌ها به طور مستقیم از رویشگاه‌های طبیعی سه استان گلستان، گیلان و مازندران در فصل گلدهی در بهار ۱۳۹۳ جمع-آوری شدند (جدول ۱). نمونه‌ها در هرباریوم دانشگاه گنبد کاووس (GKUH) نگهداری شدند. شناسایی نمونه‌ها با مراجعه به منابع فلور شوروی (Yuzepchuk, 1941)، فلور ایرانیکا (Gilli, 1969)، فلور ترکیه (Davis & Meikle, 1972) و فلور ایران (Khatamsaz, 1992) انجام شد. جهت مشاهده میکروسکوپ نوری از روش استولیز (Erdtman, 1960) استفاده شد. پس از استولیز، با میکروسکوپ نوری Nikon مدل E100 و بزرگ-نمایی ۱۰۰ از ۱۵-۲۰ گرده از نمای قطبی و استوایی با دوربین دیجیتال Canon (مدل ۶۳۸) عکس‌برداری شد. تمام اندازه‌گیری‌های توسط نرم‌افزار Image tools نسخه ۳ و Axio vision با نسخه ۴/۳ انجام شد. میانگین و انحراف معیار نیز با نرم‌افزار Minitab 14 محاسبه گردید. به منظور مطالعه و تهیه میکروگراف‌های الکترونی، دانه‌های گرده مناسب با استفاده از VEGA// TESCAN SEM مدل-MLU تحت ولتاژ KV 15, 22KV بررسی و تصویربرداری شدند.

برای اصطلاحات دانه گرده از Tomlik-Wyremblewska, Erdtman (1995) و برای تعیین اندازه و شکل گرده از طبقه‌بندی

پروجاشترین گیاهان گلدار است (Richard *et al.*, 1996). آمار دقیقی برای تعداد گونه‌های این سرده وجود ندارد. تنها طبقه‌بندی جهانی و جامع، به کوشش Focke (1911, 1914, 1910, 1914) انجام گرفته است (Thompson, 1997). Focke در این طبقه‌بندی، این سرده را به ۱۲ زیرسرده و حدود ۴۲۹ گونه تقسیم‌بندی کرده است. سه زیرسرده بزرگ آن *Idaeobatus* Focke با ۱۱۵ *Malachobatus* Focke با ۱۱۷ گونه، *Rubus=Eubatus* Focke با تقریباً ۱۳۲ گونه و کوچک‌ترین زیرسرده آن *Chamaemorus* Focke با یک گونه است. زیرسرده *Rubus* شامل گونه‌هایی است که در اروپا، آسیا و آمریکای شمالی انتشار دارند (Hill, 1993). گونه‌های چوبی موجود در ایران همگی متعلق به زیرسرده *Rubus* هستند و گونه‌های مختلف این زیرسرده علاوه‌بر ایران، در اروپا، ترکیه، قفقاز، افغانستان، پاکستان، عراق و لبنان یافت می‌شوند (Khatamsaz, 1992). برای این سرده در ایران براساس منابع و فلورهای مختلف ۱۰ تا ۱۳ گونه معرفی شده است که حاکی از اختلاف نظر میان گیاه‌شناسان برای تعیین حدود و تعداد گونه‌های متعلق به این سرده در ایران است. طبق مطالعات انجام شده گیاه‌شناسان دریاب فلور ایران طی چند قرن اخیر، تعداد گونه‌های معرفی شده برای این سرده تا حدی متفاوت بوده است. به طوری که Boissier (1872) در فلور اورینتالیس، ۱۰ گونه، Parsa (1943) در فلور ایران ۱۱ گونه، Gilli (1969) در فلور ایرانیکا ۱۲ تاکسون (۷ گونه و ۵ هیبرید)، Khatamsaz (1992) در فلور ایران ۱۳ تاکسون (۸ گونه و ۵ هیبرید) و Mobayen (1996) در رستنی‌های ایران ۱۲ گونه برای این سرده از ایران نام برده‌اند.

نگاهی به پراکنش جغرافیایی گونه‌های شناخته شده این سرده در تمام منابع فلوری نشان می‌دهد که در ایران مرکز تنوع و پراکنش گونه‌های سرده *Rubus* در شمال و شمال‌غرب و شمال‌شرق ایران است (Ghahreman, 1993). تمام گونه‌های چوبی در ایران متعلق به ناحیه خزری هستند و فقط دو گونه *R. caesius* L. و *R. sanctus* Schreb. علاوه بر ناحیه خزری در منطقه ایرانو-تورانی نیز پراکنش دارند. دانه گرده امروزه کاربرد زیادی دارد، از جمله، مطالعه روابط تکاملی بین گونه‌ها و گروه‌های گیاهی، مطالعه درباره اجتماعات گیاهی و زیستگاه وغیره (Moore & Web,

جدول ۱- نمونه‌های تحت مطالعه گونه‌های زیرسرده *Rubus* (LM-SEM).

Table 1. List of the specimens studied.

ردیف	گونه	محل جمع آوری	ارتفاع (متر)	جمع آوری کننده	شماره هرباریومی
۱	<i>R. caesius</i> L.	مازندران، رامسر، قاسم آباد سفلی	۵۰	کسلخه و حبیبی	803012-GKUH
۲	<i>R. discolor</i> Weihe & Nees.	گیلان، هشتپر، شیرآباد	۷	کسلخه و حبیبی	803026-GKUH
۳	<i>R. dolichocarpus</i> Jaz.	گلستان، پارک ملی گلستان	۵۰۰	کسلخه و مهدی یانی	803120-GKUH
۴	<i>R. hirtus</i> Waldst & .kit	مازندران، چنگل ستگده	۱۳۶۰	کسلخه و مهدی یانی	803135-GKUH
۵	<i>R. hyrcanus</i> Juz.	گیلان، جاده اسلام به خلخال	۱۰۳۰	کسلخه و حبیبی	803146-GKUH
۶	<i>R. persicus</i> Boiss.	گلستان، چنگل امام رضا (ع) کردکوی	۲۵۰	مهدی یانی	803150-GKUH
۷	<i>R. sanctus</i> Schreb.	گیلان، چیزنده، روستای بی ورزین، نزدیک زبارنگاه	۱۰۴۰	کسلخه و حبیبی	803235-GKUH

شیار: تمام گردهای تحت مطالعه دارای سه شیار (ectocolpi)

استفاده شد. (1943)

و سه منفذ درونی (endoporus) هستند. شیارها در امتداد محور قطبی گرده است که تقریباً ۹۰-۷۰ درصد محور قطبی را در گونه-های مختلف تشکیل داده‌اند. بیشترین و کمترین طول شیار به-ترتبیب در گونه *R. discolor* (شکل ۱، B1-B2) با ۳۱/۰۳ میکرومتر و در گونه *R. dolichocarpus* (شکل ۱، C1-C2) با ۲۰/۳۵ میکرومتر است. انتهای شیارها تیز است و در میانه دارای بارهای عرضی هستند.

ضخامت اگزین: کل ضخامت اگزین در میکرومتر گرافهای LM در گونه‌های مختلف بین ۱/۷۰-۹۰ میکرومتر متغیر است. بیشترین ضخامت اگزین در گونه‌های *R. caesius* (شکل A2-1، A3-1) و *R. discolor* (B1-B2) و کمترین ضخامت مربوط به گونه‌های *R. hirtus* (شکل ۱، D1-D2) و *R. persicus* (شکل ۲، E1-E2) است.

تقریبات اگزین: ترئینات سطح خارجی اگرین در میکرو گراف-های SEM نشان داد که گونه *R. caesius* (شکل ۲، A1-A3) با آرایش مخطط برجسته، scabrate-striate، و منافذ با میانگین قطر ۰/۱۴ میکرومتر هستند. رگه‌ها در مزو کلپیوم طولی و در مجاور شیارها، عرضی و تا حدودی چرخشی هستند. فاصله رگه‌ها با خطوط پارکه و فاصله اگرین از این خطوط تقریباً

گونه *R. discolor* (شکل ۲، B1-B3) با تزئینات مخططه، که در آن رگه‌ها، دارای آرایش طولی یا تا حدودی مار-

ستایج

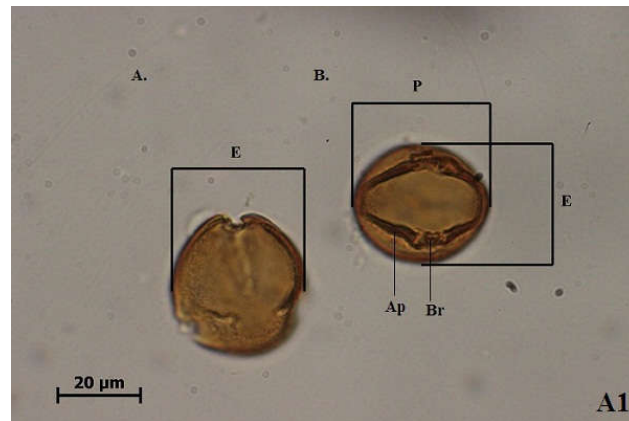
اندازه و شکل گردها: تمام گرده‌ها با میانگین طول ۳۴-۲۶ میکرومتر دارای اندازه متوسط هستند (جدول ۲). بیشترین طول محور قطبی با ۳۴/۳۸ میکرومتر مربوط به گونه R. *discolor* (شکل ۱، B1) و کمترین طول مربوط به R. *Weihe & Nees.* (شکل ۱، E1) با ۲۶/۸۹ میکرومتر است. میانگین بیشترین طول محور استوایی با ۲۶/۸۱ میکرومتر مربوط به گونه R. *caesius* (شکل ۱، A1 و شکل ۱، A3) و کمترین مقدار محور استوایی با ۲۰/۷۸ میکرومتر مربوط به R. *sancus* (شکل ۱، G2) است. از لحاظ شکل، تمام گرده‌ها منفرد، جور قطب و تقارن شعاعی هستند. از منظر قطبی بیضوی شکل و از منظر استوایی کروی سه‌لبه یا سه‌بخشی است. با توجه به نسبت طول محور قطبی به طول محور استوایی (P/E) در تصاویر SEM، گونه‌های R. *discolor*, (A2-A3)، R. *caesius* (شکل ۱، R. *persicus* Boiss. و (B1-B2)، R. *dolichocarpus* Jaz. (شکل ۱، prolate)، گونه‌های R. *hirtus* Waldst & Kit. (C1-C2) و R. *hyrcanus* (شکل ۱، E1-E2) دارای شکل گرده (شکل ۱، D1-D2) و گونه R. *sancus* (شکل ۱، G1-G2) دارای perprolate و شکل prolate-spheroidal هستند.

.L.M) - صفات اندام گیری شنیده گردید

جدول ۲. معرفت اندام گیری شنیده گردید

Table 2. Measured characteristics of treated pollens.

	P_x^{∞}	Rang P (μm)	E x (μm)	P/E (L.M)	P/E (SEM)	Length of colpi (μm)	Width of colpi (μm)	Mesocolpium (μm)	Apocolpium index	Shape (SEM)	Ornamentation	Exin (μm)
۱	<i>R. caesius</i> L.	۳۹.۷ ± ۰.۴	۳۱.۱ ± ۰.۴	۲۵.۸ ± ۰.۴	۱.۳ ± ۰.۱	۲۹.۷ ± ۰.۴	۲۷.۸ ± ۰.۴	۲.۹ ± ۰.۱	۰.۷ ± ۰.۱	prolate	scabrate-striate	۱.۲ ± ۰.۱
۲	<i>R. discolor</i> Weihe & Nees	۴۶.۷ ± ۰.۷	۴۸.۷ ± ۰.۷	۴۴.۷ ± ۰.۷	۱.۴ ± ۰.۱	۴۱.۷ ± ۰.۷	۴۰.۷ ± ۰.۷	۱.۰ ± ۰.۱	۰.۷ ± ۰.۱	prolate	striate	۱.۷ ± ۰.۱
۳	<i>R. dolichocarpus</i> <td>۴۷.۷ ± ۰.۷</td> <td>۴۵.۷ ± ۰.۷</td> <td>۴۴.۷ ± ۰.۷</td> <td>۱.۴ ± ۰.۱</td> <td>۴۱.۷ ± ۰.۷</td> <td>۴۰.۷ ± ۰.۷</td> <td>۱.۰ ± ۰.۱</td> <td>۰.۷ ± ۰.۱</td> <td>prolate</td> <td>scabrate-striate</td> <td>۱.۱ ± ۰.۱</td>	۴۷.۷ ± ۰.۷	۴۵.۷ ± ۰.۷	۴۴.۷ ± ۰.۷	۱.۴ ± ۰.۱	۴۱.۷ ± ۰.۷	۴۰.۷ ± ۰.۷	۱.۰ ± ۰.۱	۰.۷ ± ۰.۱	prolate	scabrate-striate	۱.۱ ± ۰.۱
۴	<i>R. hirtus</i> Waldfst & Kit.	۴۷.۷ ± ۰.۷	۴۹.۷ ± ۰.۷	۴۳.۷ ± ۰.۷	۱.۴ ± ۰.۱	۴۱.۷ ± ۰.۷	۴۰.۷ ± ۰.۷	۱.۰ ± ۰.۱	۰.۷ ± ۰.۱	prolate	scabrate-striate	۱.۱ ± ۰.۱
۵	<i>R. hyrcanus</i> <td>۴۹.۷ ± ۰.۷</td> <td>۴۷.۷ ± ۰.۷</td> <td>۴۴.۷ ± ۰.۷</td> <td>۱.۴ ± ۰.۱</td> <td>۴۱.۷ ± ۰.۷</td> <td>۴۰.۷ ± ۰.۷</td> <td>۱.۰ ± ۰.۱</td> <td>۰.۷ ± ۰.۱</td> <td>prolate</td> <td>striate</td> <td>۱.۷ ± ۰.۱</td>	۴۹.۷ ± ۰.۷	۴۷.۷ ± ۰.۷	۴۴.۷ ± ۰.۷	۱.۴ ± ۰.۱	۴۱.۷ ± ۰.۷	۴۰.۷ ± ۰.۷	۱.۰ ± ۰.۱	۰.۷ ± ۰.۱	prolate	striate	۱.۷ ± ۰.۱
۶	<i>R. persicus</i> <td>۴۷.۷ ± ۰.۷</td> <td>۴۵.۷ ± ۰.۷</td> <td>۴۳.۷ ± ۰.۷</td> <td>۱.۴ ± ۰.۱</td> <td>۴۱.۷ ± ۰.۷</td> <td>۴۰.۷ ± ۰.۷</td> <td>۱.۰ ± ۰.۱</td> <td>۰.۷ ± ۰.۱</td> <td>prolate</td> <td>striate</td> <td>۱.۴ ± ۰.۱</td>	۴۷.۷ ± ۰.۷	۴۵.۷ ± ۰.۷	۴۳.۷ ± ۰.۷	۱.۴ ± ۰.۱	۴۱.۷ ± ۰.۷	۴۰.۷ ± ۰.۷	۱.۰ ± ۰.۱	۰.۷ ± ۰.۱	prolate	striate	۱.۴ ± ۰.۱
۷	<i>R. sanctus</i> <td>۴۸.۷ ± ۰.۷</td> <td>۴۸.۷ ± ۰.۷</td> <td>۴۴.۷ ± ۰.۷</td> <td>۱.۴ ± ۰.۱</td> <td>۴۱.۷ ± ۰.۷</td> <td>۴۰.۷ ± ۰.۷</td> <td>۱.۰ ± ۰.۱</td> <td>۰.۷ ± ۰.۱</td> <td>prolate-spheroidal</td> <td>striate</td> <td>۱.۰ ± ۰.۱</td>	۴۸.۷ ± ۰.۷	۴۸.۷ ± ۰.۷	۴۴.۷ ± ۰.۷	۱.۴ ± ۰.۱	۴۱.۷ ± ۰.۷	۴۰.۷ ± ۰.۷	۱.۰ ± ۰.۱	۰.۷ ± ۰.۱	prolate-spheroidal	striate	۱.۰ ± ۰.۱

شکل ۱-۱: A1: دانه گرده (x100) *Rubus caesius*.Fig. 1. Pollen of *Rubus caesius* (x100).

A: دید قطبی، B: دید استوایی، P: طول محور قطبی، E: طول محور استوایی، Ap: شیار، Br: پل عرضی.

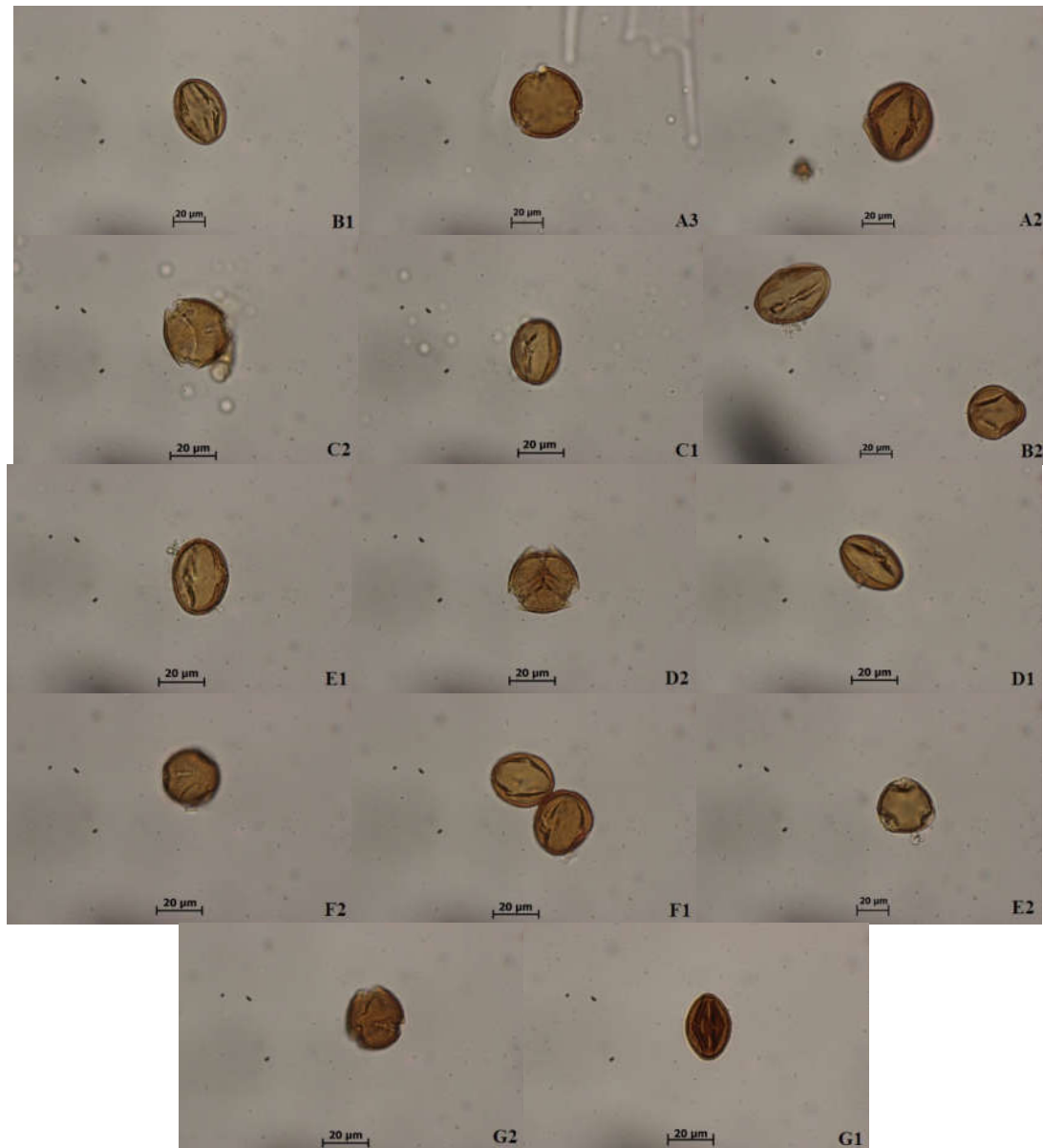
A: polar view, B: equatorial view, P: length of polar axis, E: length of equatorial axis, Ap: aperture, Br: bridge.

(G3) نیز تزئینات سطح خارجی مخططه رگه‌دار است. فاصله رگه‌ها از هم دیگر زیاد و در تمام قسمت‌ها دارای آرایش طولی، با منافذ ریز و بزرگ، با میانگین قطر $0.42 \mu\text{m}$ میکرومتر است. فاصله رگه‌ها و خطوط فاقد دانه‌های گرانولی هستند ولی در داخل شیارها مشاهده می‌شود.

بحث

تمام دانه‌های گرده مورد بررسی جورقطب، با تقارن شعاعی و سه‌شیار-منفذی همانند دیگر دانه‌های گرده گلسرخیان است و مطالعات قبلی دربار گلسرخیان و سرده *Rubus* را به وضوح تأیید می‌کنند (Reitsma, 1966; Eide, 1981). با توجه به بررسی‌های انجام گرفته در این تحقیق، تمام دانه‌های گرده طبق طبقه‌بندی (Erdtman, 1943) دارای اندازه متوسط ($26-34 \mu\text{m}$) میکرومتر هستند. از نظر شکل، معمولاً از دید استوایی بیضوی و از دید قطبی سه‌گوش و سه‌بخشی است و با نسبت طول محور قطبی به طول محور استوایی ($P/E = 1.47-1.16$) در اندازه‌گیری میکروگراف‌ها بهروش LM و $2.15-2.40$ در SEM، شکل prolate گرده‌ها طبق طبقه‌بندی Erdtman (1943) از perprolate تا spheroidal متغراوت‌اند. سه‌شیاره و دارای پل‌های عرضی استوایی در محل شیارها هستند. ضخامت اگزین در بین گونه‌های مختلف تفاوت چندانی نشان نداده است و در محدوده $1-1.70 \mu\text{m}$ میکرومتر است. تزئینات سطح اگزین یکی از صفات مهم

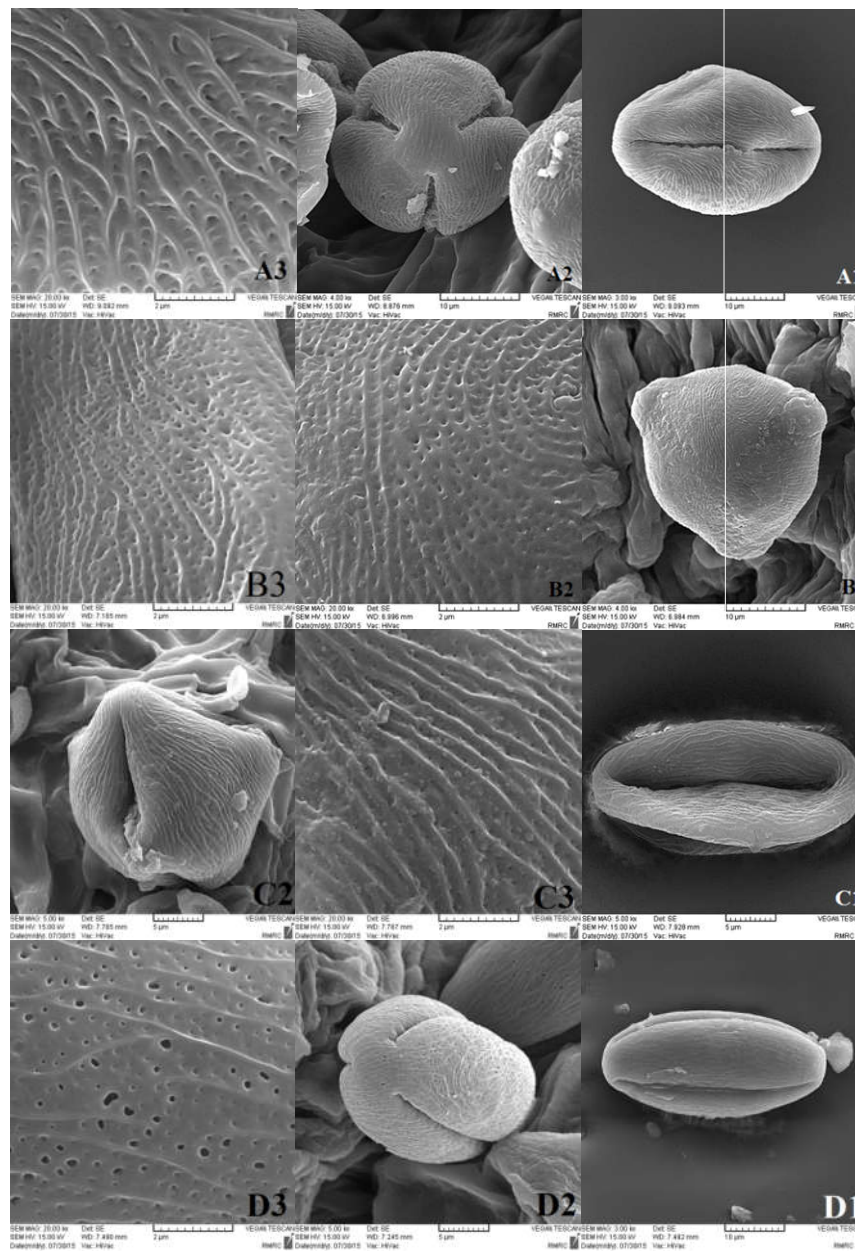
پیچی در مژوکلپیوم هستند، در قسمت‌های انتهایی قطبی به صورت عرضی آرایش یافته‌اند. فاصله خطوط از هم دیگر کم است و دارای منافذ بزرگ و کوچک با قطر میانگین $0.09 \mu\text{m}$ میکرومتر و گاهی دارای گرانول بین یا روی خطوط است. *R. hirtus* (شکل ۲، C1-C3) با تزئینات سطح خارجی مخطط منشعب scabrate-striate هستند. رگه‌ها در تمام قسمت‌ها به صورت طولی آرایش یافته‌اند. فاصله خطوط کم و دارای منافذ بسیار ریز با میانگین قطر $0.06 \mu\text{m}$ میکرومتر و به صورت پراکنده دارای گرانول روی رگه‌ها یا بین آنها است. تزئینات سطح خارجی گونه *R. hirtus* (شکل ۲، D1-D3) مخطط شاخه‌ای یا منشعب است. رگه‌ها با آرایش طولی و تا حدودی چرخشی و فاصله زیاد دارای منافذ بزرگ با میانگین قطر $0.30 \mu\text{m}$ میکرومتر و منافذ کوچک با میانگین قطر $0.06 \mu\text{m}$ میکرومتر است. *R. hyrcanus* (شکل ۲، E1-E3) دارای تزئینات مخطط striate است. رگه‌ها با آرایش طولی و فاصله زیاد دارای منافذ بزرگ با میانگین قطر $0.38 \mu\text{m}$ میکرومتر و منافذ کوچک با میانگین قطر $0.03 \mu\text{m}$ میکرومتر است و در سطح فاقد گرانول هستند. تزئینات سطح خارجی *R. persicus* (شکل ۲، F1-F3) خطدار striate است. فاصله رگه‌ها از هم دیگر زیاد و در تمام قسمت‌ها دارای آرایش طولی، با منافذ ریز زیاد و منافذ بزرگ، با میانگین قطر $1.03 \mu\text{m}$ میکرومتر است. رگه‌ها و خطوط فاقد دانه‌های گرانولی است ولی در داخل شیارها مشاهده می‌شود. در *R. sanctus* (شکل ۲، G1-G3)



۱- دانه‌های گرده استولیز شده (LM) (x100)

Fig. 1. Acetolyzed pollen grains (LM) (x100).

A1: دید استوایی، A2: دید قطبی *R. caesius*; B1: دید استوایی و قطبی، B2: دید استوایی و قطبی *R. discolor*; C1: دید استوایی، C2: دید قطبی *R. dolichocarpus*; D1: دید استوایی، D2: دید قطبی *R. hirtus*; E1: دید استوایی، E2: دید قطبی *R. hyrcanus*; F1: دید استوایی، F2: دید قطبی *R. persicus*; G1: دید استوایی، G2: دید قطبی *R. sanctus*.
 A2: equatorial view, A3: polar view- *R. caesius*; B1: equatorial view, B2: polar view- *R. discolor*; C1: equatorial view, C2: Polar view- *R. dolichocarpus*; D1: equatorial view, D2: polar view- *R. hirtus*; E1: equatorial view, E2: polar view- *R. hyrcanus*; F1: equatorial view, F2: polar view- *R. persicus*; G1: equatorial view, G2: polar view- *R. sanctus*.

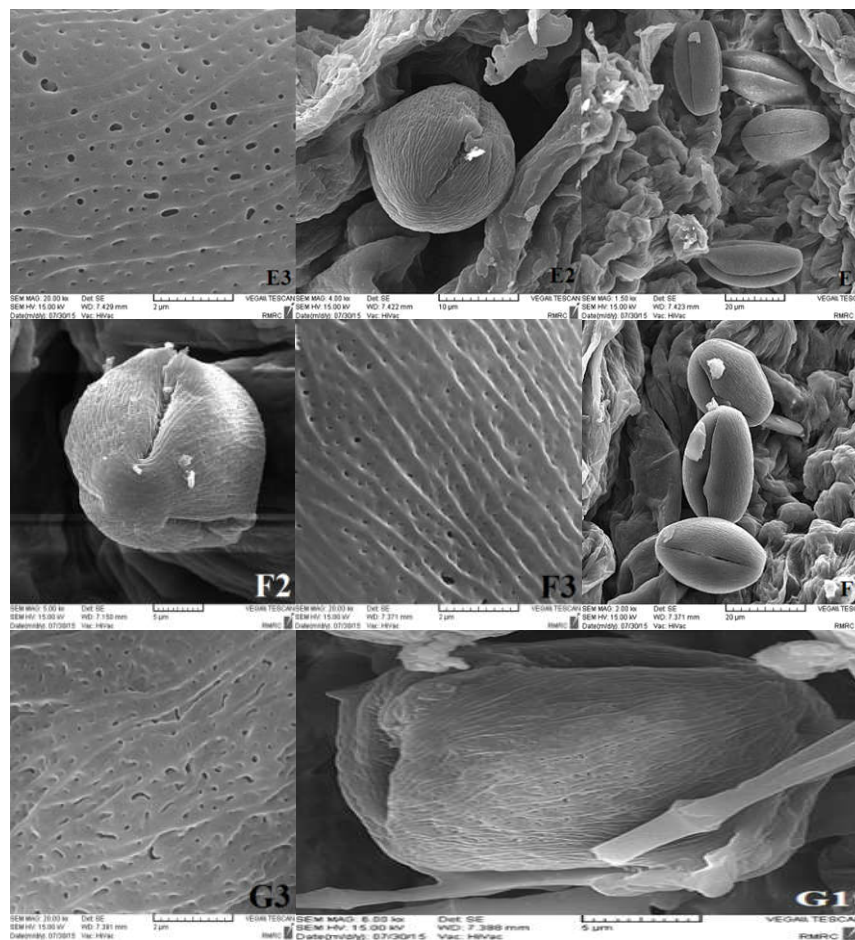


شکل ۲ - تصاویر میکروسکوپ الکترونی (SEM).

Fig. 2. SEM micrographs.

A1: دید استوایی، A2: دید قطبی، A3: تریتیات اگرین *R. caesium*; B1: دید قطبی، B2: دید استوایی، B3: تریتیات اگرین *R. discolor*; C1: دید قطبی، C2: دید استوایی، C3: تریتیات اگرین *R. dolichocarpus*; D1: دید قطبی، D2: دید استوایی، D3: تریتیات اگرین *R. hirtus*.

A1: equatorial view, A2: polar view, A3: exine-*R. caesium*; B1: polar view, B2, B3: exine- *R. discolor*; C1: equatorial view, C2: polar view, C3: exine-*R. dolichocarpus*; D1: equatorial view, D2: polar view, D3: exine-*R. hirtus*.



ادامه شکل ۲ - تصاویر میکروسکوب الکترونی (SEM).

Fig. 2. SEM micrographs.

E1: equatorial view, E2: polar view, E3: exine-*R. hyrcanus*; F1: equatorial view, F2: polar view, F3: exine- *R. persicus*; G1: equatorial view, G2: polar view, G3: exine-*R. sanctus*.
R. *persicus*: E1, E2, E3, F1, F2, F3, G1, G2, G3; *R. hyrcanus*: E1, E2, E3; *R. sanctus*: F1, F2, F3.

E1: equatorial view, E2: polar view, E3: exine-*R. hyrcanus*; F1: equatorial view, F2: polar view, F3: exine- *R. persicus*; G1: equatorial view, G2: polar view, G3: exine-*R. sanctus*.

میکرومتر و تزئینات شیاردار، مطابقت دارد. در مطالعه اخیر، گونه *R. hirtus* نیز بررسی شده بود که گزارش‌های بیضوی و سه‌شیاره بودن دانه گرده و نسبت P/E برابر با ۱/۳۰ و تزئینات اگزین شیاردار و مخطوط برجسته کاملاً با گزارش مقاله حاضر مطابقت دارد (Sharifnia *et al.*, 2011). در این بررسی تزئینات سطح خارجی در گونه *R. persicus* چروکیده و *R. raddeanus* رگه‌دار یا مخطوط معرفی شده است. با توجه به نقش عوامل اکولوژیکی در پراکنش گونه‌های گیاهی از جمله تمشک می‌توان به تأثیر بیزگی‌های رویشگاهی در اندازه و تزئینات خارجی گرده اشاره کرد. به طور کلی نمونه‌های جمع‌آوری شده در این مطالعه بر حسب پراکنش از مناطق جنگلی و غیرجنگلی بوده است. با

در گرده‌های تیره گلسرخیان است (Eide, 1981). سطح تزئینات اگزین در مطالعه حاضر نشان داده که تمام گونه‌ها دارای الگویی شیاردار یا مخطوط است که در برخی گونه‌ها از جمله *R. sanctus* و *R. persicus* و *R. hyrcanus* این شیارها تا حدودی مستقیم (striate) و دارای برجستگی کمتری است ولی در دیگر گونه‌ها این شیارها به صورت برجسته و چندشاخه (scabrate-) در طول محور قطبی گرده‌ها قرار دارند. این یافته‌ها با مطالعات و یافته‌های Tomlik-Wyremblewska (1995) در مطالعه مورفولوژی گرده زیرسروde *Rubus* در اروپا، به جز اندازه، کوچک گرده در دیگر گزارش‌ها از جمله بیضوی، سه‌شیاره، جورقطب بودن و داشتن اگزینی با ضخامت حدود ۱/۲۰-۱/۷۰ بوده است.

REFERENCES

- Ballington, J.R., Luteyn, M.M., Thompson, K., Romoleroux, K. and Castillo, R.** 1993. *Rubus* and Vacciniaceous germplasm resources in the Andes of Ecuador. – Plant Genet. Resour. Newsl. 93: 9-15.
- Boissier, E.** 1872. Flora Orientalis 2: 690-694. – H. Georg, Genève.
- Davis, P.H. and Meikle, R.D.** 1972. Rosaceae. – In: Davis, P.H. (ed.): Flora of Turkey and the East Aegean Islands 4: 30-40. – Edinburgh University Press, Edinburgh.
- Eide, F.** 1981a. Key to the Northwest Rosaceae pollen. – Grana 20: 101-118.
- Eide, F.** 1981b. On the pollen morphology of *Rubus chamaemorus* (Rosaceae). – Grana 20: 25-27.
- Erdthman, G.** 1960. The acetolysis method. A revised description. – Svensk. Bot. Tidskr. 54: 561-564.
- Erdthman, G.** 1943. An introduction to pollen analysis. – Chronica Botanical Company Waltham, Mass. 270 pp.
- Focke, W.O.** 1910. Species Ruborum. Monographiae Generic. *Rubi prodromus*. – Bibliotheca Botanica 17: 1-120.
- Focke, W.O.** 1911. Species Ruborum. Monographic Genesis. *Rubi prodromus*. – Bibliotheca Botanica. 17: 121-223.
- Focke, W.O.** 1914. Species Ruborum. Monographic Genesis. *Rubi prodromus*. – Bibliotheca Botanica. 17: 1-274.
- Ghahreman, A.** 1993. Plant systematic cormophotes of Iran. – University Press. 518-568 pp.
- Gilli, A.** 1969. Rubus. –In: Rechinger, K.H. (ed.): Flora Iranica 66: 67-75 – Akademische Druck-u.-Verlagsanstalt, Graz.
- Hummer, K.E.** 1996. *Rubus* diversity. – Hort Science 31: 182-183.
- Jennings, D.L.** 1988. Raspberries and blackberries: their breeding, diseases, and growth. – Academic Press. New York. 230 pp.
- Khatamsaz, M.** 1992. Flora of Iran (Rosacea). – Research Institute of Forests and Rangelands 6: 20-35.
- Mobayen, S.** 1996. Rubus. Flora of Iran: Vascular Plants, Vol 4: 167-171. – Tehran University Press, Tehran.
- Moore, P.D. and Web, J.A.** 1978. An illustrated guide to pollen analysis. – Hodder and Stoughton, London. 30-77 pp.
- Parsa, A.** 1943. Flore de l'Iran (Flora of Iran) 2: 573-576. – Mazaheri Publication, Tehran.
- Reitsma, T.J.** 1966. Pollen morphology of some European Rosacea. – Acta Bot. Neerl. 15: 290-307.
- Richards, A.J., Kirschner, J., Stepanek, J. and Marhold, K.** 1996. Apomixis and taxonomy: an introduction. – Folia Geobot. Phytotax. 31: 281-282.
- Sharifnia, F., Salimpour, F. and Behzadi Shakib, S.** 2011. Revision of *Rubus persicus* and *Rubus raddeanus* in Iran. – Quarterly Journal of Plant Sciences Researches 22: 50-58.
- Thompson, M.M.** 1995. Chromosome number of *Rubus* species at the National Clonal Germplasm Repository. – Hort Science 30: 1447-1452.
- Thompson, M.M.** 1997. Survey of chromosome numbers in *Rubus* (Rosaceae: Rosoidese). – Ann. Missouri Bot. 84: 128-164.

عنایت به تغیرات عوامل اکولوژیکی از جمله میزان رطوبت، وزش باد، تغیرات حرارتی و غیره، می‌توان گرده تمشک را به دو دسته جنگلی و غیرجنگلی تقسیم نمود در دسته اول می‌توان به گونه‌های *R. hyrcanus*, *R. dolichocarpus*, *R. caesius* و *R. persicus* اشاره کرد که دارای ویژگی‌هایی از جمله دارای نسبت P/E کوچک‌تر (مبنای سنجش اندازه گیری گونه‌های تحت مطالعه) هستند. دسته دوم دارای رویشگاه خارج از جنگل بوده و دارای ویژگی‌هایی از جمله نسبت P/E بزرگ‌تر نسبت به دیگر گونه‌ها است. تغیرات رویشگاهی بر نوع و تیپ گرده اثر ندارد و عدمه تغیرات در اندازه گرده‌ها است.

سپاسگزاری

نگارندگان از مسئولان هرباریوم و آزمایشگاه مرکزی دانشگاه گنبد کاووس بخاطر فراهم نمودن امکانات و همکاری در انجام این تحقیق قدردانی می‌نمایند.

Tomlik-Wyremblewska, A. 1995. Pollen morphology of the genus *Rubus* L. I. introductory studies on the European representatives of the subgen. *Rubus* L. – Acta Soc. Bot. 64: 187-203.

Yuzepchuk, S.V. 1941. *Rubus* L. – In Komarov, V.L. (ed.): Flora of the U.S.S.R 10: 6-45. – Izdatel'stvo Akademii Nauk SSSR, Moskva- Leningrad

How to cite this article:

Kasalkheh, R., Jorjani, E., Sabouri, H., Habibi, M. and Sattarian, A. 2017. Pollen morphology of the genus *Rubus* L. subgenus *Rubus* (Rosaceae) in Iran. – Nova Biol. Rep. 4: 9-18.

کسلخه، د، جرجانی، ع، صبوری، ح، حبیبی، م. و ستاریان. ع. ۱۳۹۶. ریختشناسی گرده گونه‌های سرده *Rubus* L. زیرسرده *Rubus* در ایران. – یافته‌های نوین در علوم زیستی ۴: ۹-۱۸.